

Contrôle optimal par réduction de dynamique du sillage instationnaire d'un cylindre circulaire

Michel Bergmann, Laurent Cordier et Jean-Pierre Brancher

`Michel.Bergmann@ensem.inpl-nancy.fr`

Laboratoire d'Energétique et de Mécanique Théorique et Appliquée

UMR 7563 (CNRS - INPL - UHP)

ENSEM - 2, avenue de la Forêt de Haye

BP 160 - 54504 Vandoeuvre Cedex, France



Plan de l'exposé

I - Configuration d'étude et méthode de résolution numérique

II - Décomposition Orthogonale aux valeurs Propres (POD)

III - Modèle réduit de la dynamique contrôlée du cylindre

IV - Formulation contrôle optimal appliquée au modèle réduit

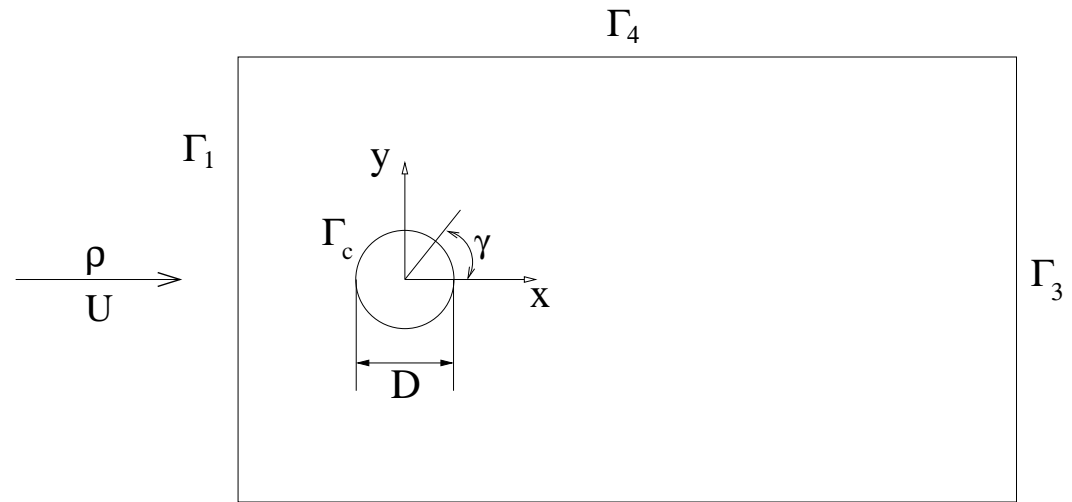
V - Contrôle actif en boucle fermée

Conclusions et perspectives

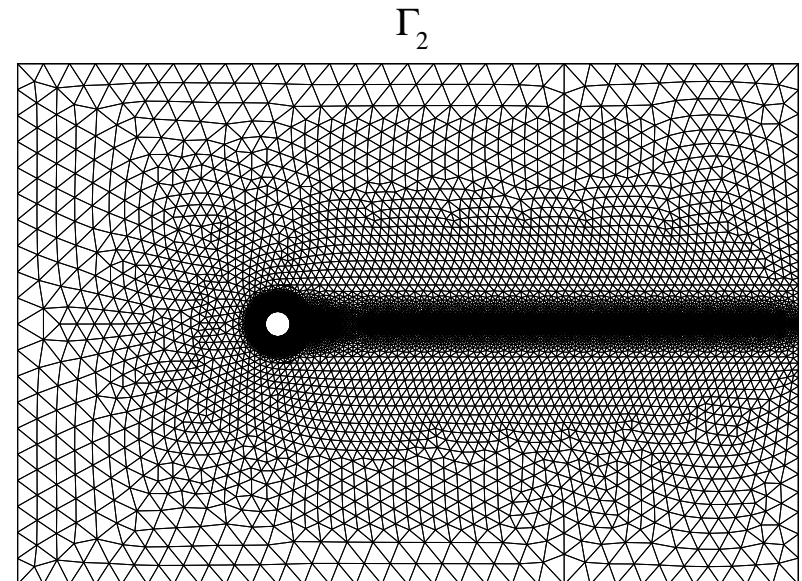


I - Configuration d'étude et méthode de résolution numérique

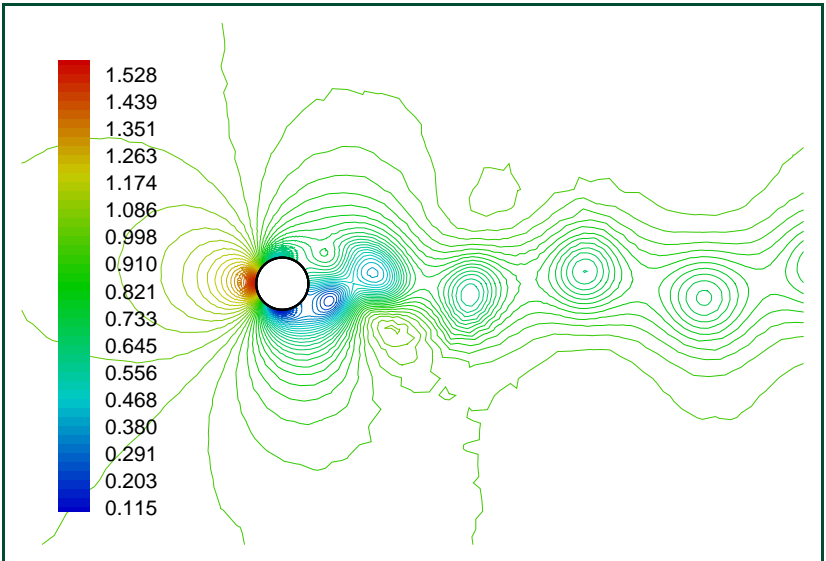
- Écoulement 2D en aval d'un cylindre circulaire à $Re = 200$,
- Fluide visqueux, incompressible, Newtonien,
- Oscillation du cylindre à la vitesse tangentielle $\gamma(t)$.



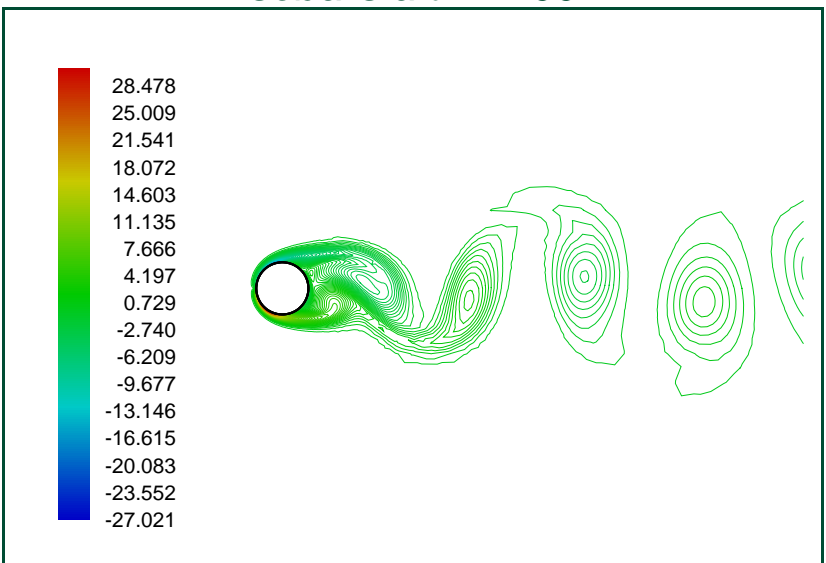
- Méthode à pas fractionnaires (correction de pression),
- Éléments finis P_1 .



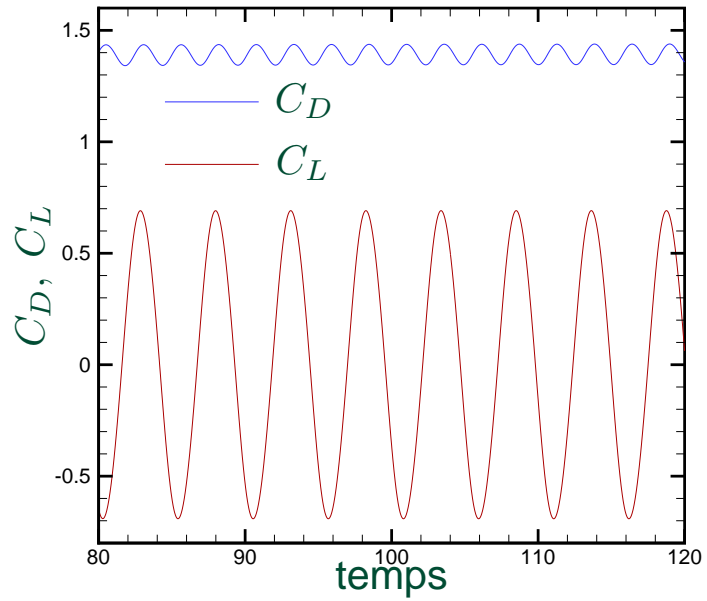
I - Configuration d'étude et méthode de résolution numérique



Isobars à $t = 100$.



Iso-rotationnels à $t = 100$.



Coefficients aérodynamiques.

Auteurs	S_t	C_D
Braza <i>et al.</i> (1986)	0.2000	1.4000
Henderson <i>et al.</i> (1997)	0.1971	1.3412
He <i>et al.</i> (2000)	0.1978	1.3560
présente étude	0.1983	1.3822

Nombre de Strouhal et coefficient de traînée.



II - Décomposition Orthogonale aux Valeurs Propres

► Proper Orthogonal Decomposition (POD), Lumley (1967).

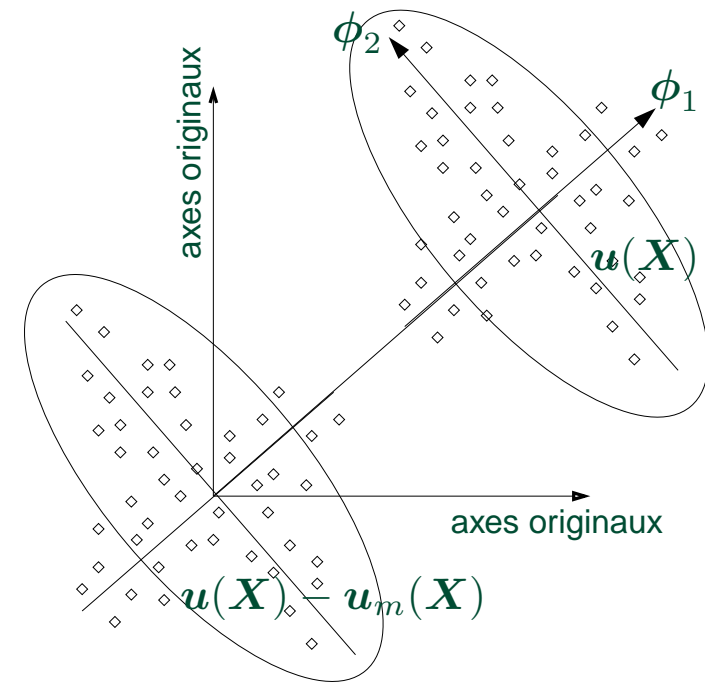
► Rechercher la réalisation $\phi(\mathbf{X})$ "ressemblant le plus" en moyenne aux réalisations $\mathbf{u}(\mathbf{X})$. ($\mathbf{X} = (\mathbf{x}, t) \in \mathcal{D} = \Omega \times \mathbb{R}^+$)

► $\phi(\mathbf{X})$ solution du problème :

$$\max_{\phi} \frac{\langle |(\mathbf{u}, \phi)|^2 \rangle}{\|\phi\|^2}.$$

► Convergence optimale *en norme* L^2 (énergie) de $\phi(\mathbf{X})$

⇒ réduction de dynamique envisageable.



Lumley J.L. (1967) : The structure of inhomogeneous turbulence. *Atmospheric Turbulence and Wave Propagation*, ed. A.M. Yaglom & V.I. Tatarski, pp. 166-178.



II - Décomposition Orthogonale aux Valeurs Propres

- Equivalence avec une équation intégrale de Fredholm :

$$\int_{\mathcal{D}} R_{ij}(\mathbf{X}, \mathbf{X}') \phi_j^{(n)}(\mathbf{X}') d\mathbf{X}' = \lambda^{(n)} \phi_i^{(n)}(\mathbf{X}) \quad n = 1, \dots, N_{POD}$$

↪ $R(\mathbf{X}, \mathbf{X}')$: tenseur des corrélations spatio-temporelles.

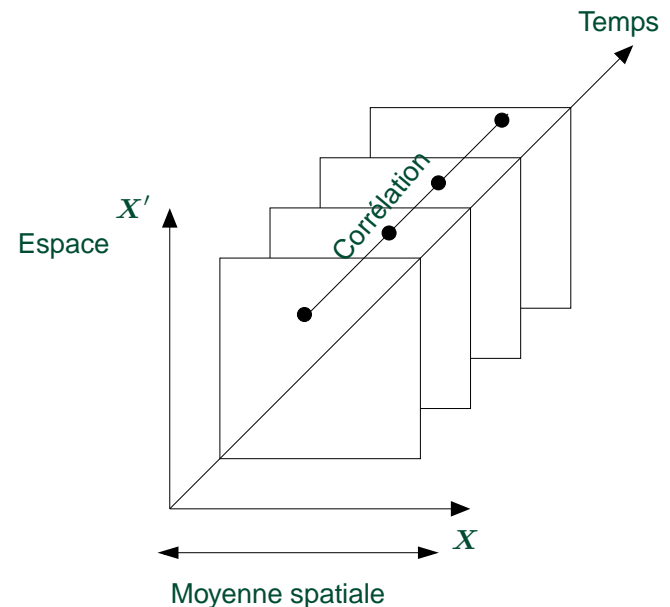
- Méthode des snapshots, Sirovich (1987) :

$$\int_T C(t, t') a^{(n)}(t') dt' = \lambda^{(n)} a^{(n)}(t)$$

↪ $C(t, t')$: corrélations temporelles.

- $\phi(\mathbf{X})$ base de l'écoulement :

$$\mathbf{u}(\mathbf{x}, t) = \sum_{n=1}^{N_{POD}} a^{(n)}(t) \phi^{(n)}(\mathbf{x}).$$



Sirovich L. (1987) : Turbulence and the dynamics of coherent structures. Part 1,2,3 *Quarterly of Applied Mathematics*, **XLV** N° 3, pp. 561–571.



III - Modèle réduit de la dynamique du cylindre

- Projection de Galerkin de Navier-Stokes sur la base POD :

$$\left(\phi^{(i)}, \frac{\partial \mathbf{u}}{\partial t} + (\mathbf{u} \cdot \nabla) \mathbf{u} \right) = \left(\phi^{(i)}, -\nabla p + \frac{1}{Re} \Delta \mathbf{u} \right).$$

- Intégration par parties (formule de Green) :

$$\begin{aligned} \left(\phi^{(i)}, \frac{\partial \mathbf{u}}{\partial t} + (\mathbf{u} \cdot \nabla) \mathbf{u} \right) &= \left(p, \nabla \cdot \phi^{(i)} \right) - \frac{1}{Re} \left((\nabla \otimes \phi^{(i)})^T, \nabla \otimes \mathbf{u} \right) \\ &\quad - [p \phi^{(i)}] + \frac{1}{Re} [(\nabla \otimes \mathbf{u}) \phi^{(i)}]. \end{aligned}$$

$$\text{avec } [a] = \int_{\Gamma} a \cdot \mathbf{n} d\Gamma \text{ et } (A, B) = \int_{\Omega} A : B d\Omega = \sum_{i,j} \int_{\Omega} A_{ij} B_{ji} d\Omega.$$



III - Modèle réduit de la dynamique du cylindre

- Décomposition de la vitesse sur N_{POD} modes :

$$\mathbf{u}(\mathbf{x}, t) = \mathbf{u}_m(\mathbf{x}) + \gamma(t) \mathbf{u}_c(\mathbf{x}) + \sum_{k=1}^{N_{POD}} a^{(k)}(t) \phi^{(k)}(\mathbf{x}).$$

- Système dynamique avec N_{gal} modes retenus (équations d'état) :

$$\left\{ \begin{array}{l} \frac{d a^{(i)}(t)}{dt} = \mathcal{A}_i + \sum_{j=1}^{N_{gal}} \mathcal{B}_{ij} a^{(j)}(t) + \sum_{j=1}^{N_{gal}} \sum_{k=1}^{N_{gal}} \mathcal{C}_{ijk} a^{(j)}(t) a^{(k)}(t) \\ \quad + \mathcal{D}_i \frac{d\gamma}{dt} + \left(\mathcal{E}_i + \sum_{j=1}^{N_{gal}} \mathcal{F}_{ij} a^{(j)}(t) \right) \gamma + \mathcal{G}_i \gamma^2 \\ a^{(i)}(0) = (\mathbf{u}(\mathbf{x}, 0), \phi^{(i)}(\mathbf{x})). \end{array} \right.$$

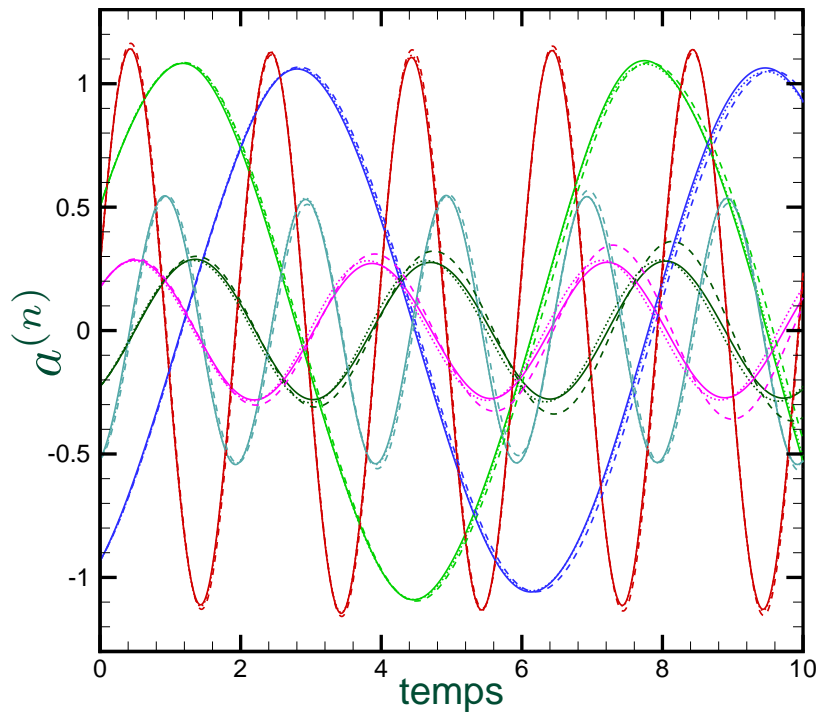
$\mathcal{A}_i, \mathcal{B}_{ij}, \mathcal{C}_{ijk}, \mathcal{D}_i, \mathcal{E}_i, \mathcal{F}_{ij}$ et \mathcal{G}_i dépendent de $\phi, \mathbf{u}_m, \mathbf{u}_c$ et Re .



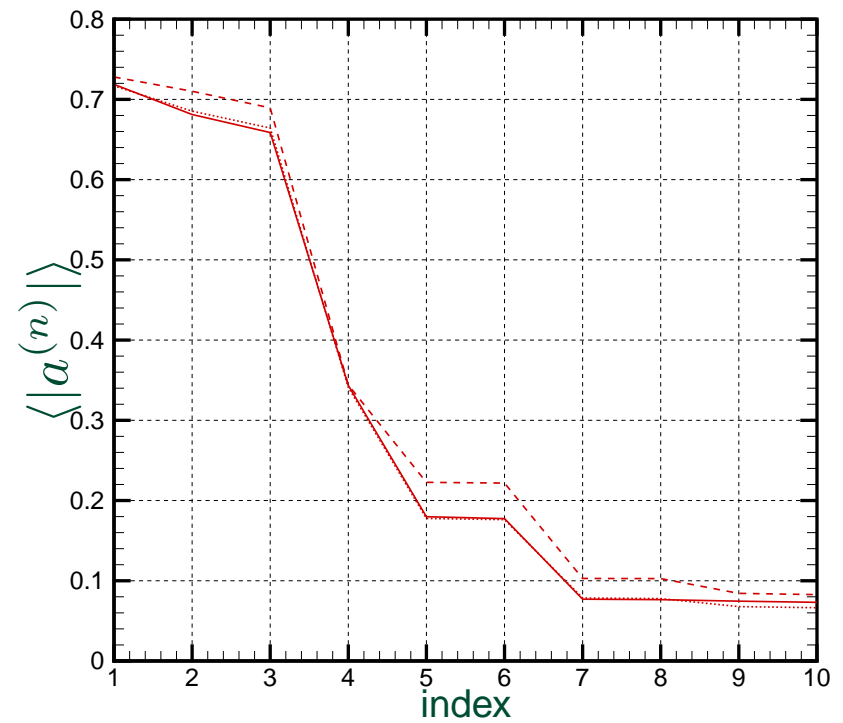
III - Modèle réduit de la dynamique du cylindre *Stabilisation*

Intégration et stabilisation du système dynamique POD pour

$$\gamma = A \sin(2\pi S_t t), \quad A = 2 \text{ et } S_t = 0,5.$$



Evolution temporelle des 6 premiers modes propres POD.



Amplitudes moyennes des modes POD.

— modes projetés (exacts); --- modes prédits; ... modes stabilisés.



IV - Formulation contrôle optimal appliquée au modèle réduit

- Fonctionnelle coût :

$$\mathcal{J}(\mathbf{a}, \gamma(t)) = \int_0^T J(\mathbf{a}, \gamma(t)) dt = \int_0^T \left(\sum_{i=1}^{N_{gal}} a^{(i)2} + \frac{\alpha}{2} \gamma(t)^2 \right) dt.$$

α : paramètre de régularisation (pénalisation).

- Equations adjointes :

$$\begin{cases} \frac{d\xi^{(i)}(t)}{dt} = - \sum_{j=1}^{N_{gal}} \left(\mathcal{B}_{ji} + \gamma(t) \mathcal{F}_{ji} + \sum_{k=1}^{N_{gal}} (\mathcal{C}_{jik} + \mathcal{C}_{jki}) a^{(k)}(t) \right) \xi^{(j)}(t) - 2a^{(i)}(t) \\ \xi^{(i)}(T) = 0. \end{cases}$$

- Condition d'optimalité :

$$\delta\gamma(t) = - \sum_{i=1}^{N_{gal}} \mathcal{D}_i \frac{da^{(i)}}{dt} + \sum_{i=1}^{N_{gal}} \left(\mathcal{E}_i + \sum_{j=1}^{N_{gal}} \mathcal{F}_{ij} a^{(j)} + 2\mathcal{G}_i \gamma(t) \right) \xi^{(i)} + \alpha\gamma.$$



IV - Formulation contrôle optimal appliquée au modèle réduit

► $\gamma^{(0)}(t)$ fixé ; Pour $n = 0, 1, 2, \dots$ et tant que critère de convergence non vérifié
Faire :

1. Résolution de 0 à T des équations d'état avec $\gamma^{(n)}(t)$;
 \hookrightarrow on obtient $a^{(n)}(t)$

2. Résolution de T à 0 des équations adjointes avec $a^{(n)}(t)$;
 \hookrightarrow on obtient $\xi^{(n)}(t)$

3. Résolution des conditions d'optimalité avec $a^{(n)}(t)$ et $\xi^{(n)}(t)$ de 0 à T (ou de T à 0) ;
 \hookrightarrow on obtient $\delta\gamma^{(n)}(t)$

4. Nouveau contrôle $\hookrightarrow \gamma^{(n+1)}(t) = \gamma^{(n)}(t) + \omega^{(n)} \delta\gamma^{(n)}(t)$

► Fin Faire.



V - Contrôle actif en boucle fermée *Généralités*

▶ Pas de réactualisation de la base POD.

▶ Représentativité énergétique *a priori* différente de représentativité dynamique :

↪ inconvénient possible pour le contrôle.

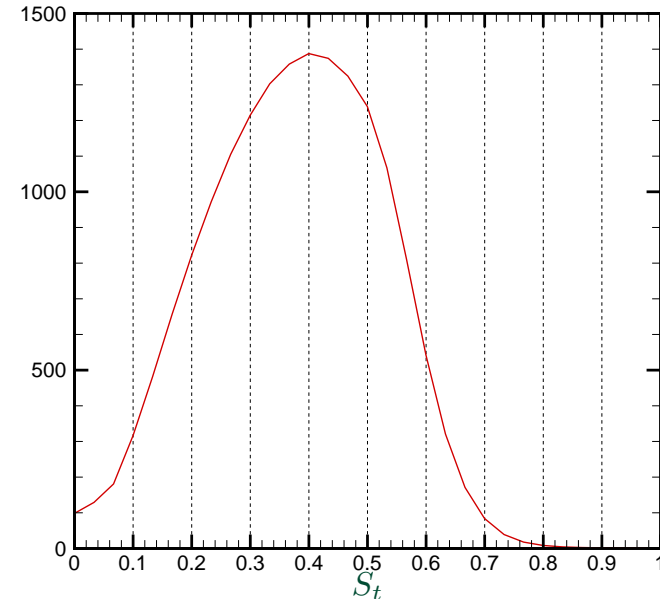
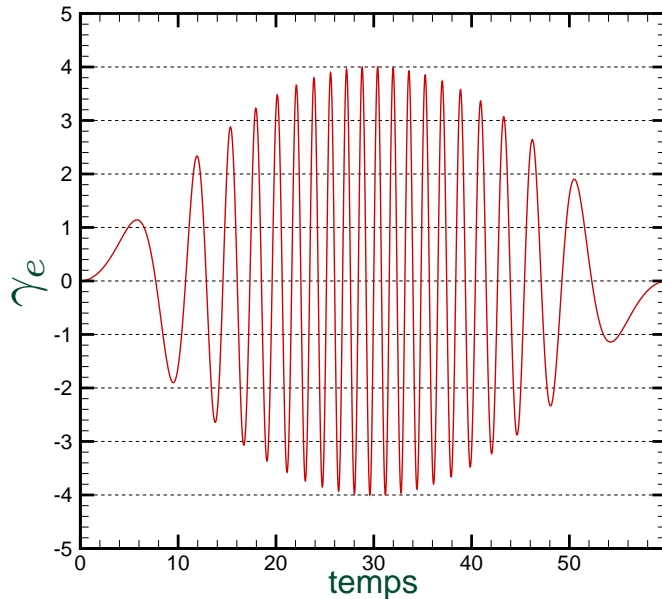
↪ un système POD représente *a priori* uniquement une dynamique proche de celle utilisée pour le générer.

▶ Construction d'une base POD représentative d'une plus large gamme de dynamique :

↪ *excitation d'un plus grand nombre de degrés de liberté par balayage en amplitudes et en fréquences de $\gamma(t)$.*



V - Contrôle actif en boucle fermée *Excitation*



► $\gamma = 0$:

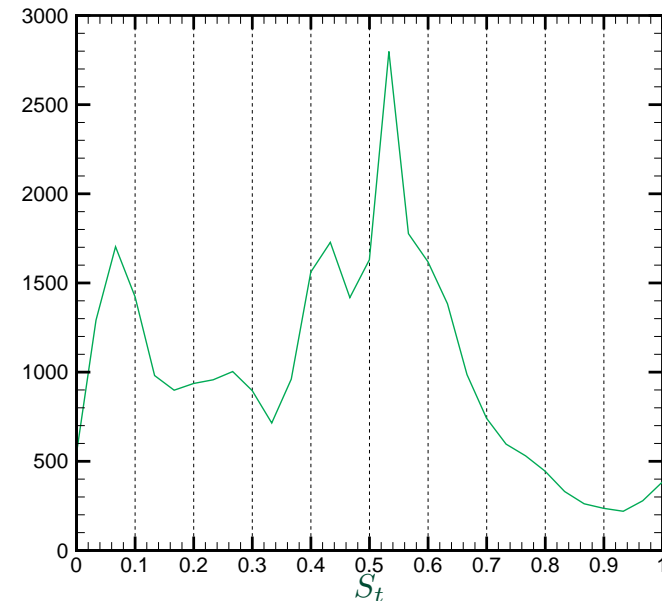
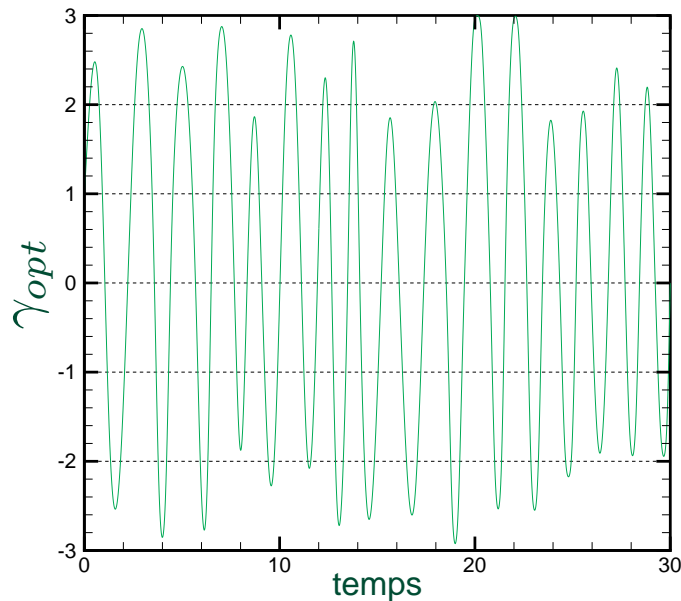
↪ 2 modes sur 100 nécessaires pour représenter 97% de l'énergie.

► $\gamma = \gamma_e$:

↪ 30 modes sur 100 nécessaires pour représenter 97% de l'énergie.



V - Contrôle actif en boucle fermée *Contrôle optimal*



- Diminution très importante de l'instationnarité du sillage. $\gamma_{opt} \simeq A \sin(2\pi S_t t)$ avec $A = 2,2$ et $S_t = 0,53$

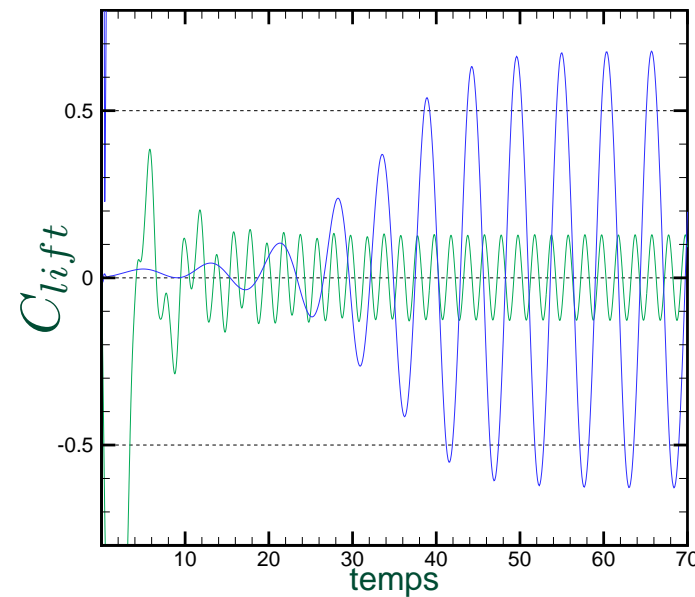
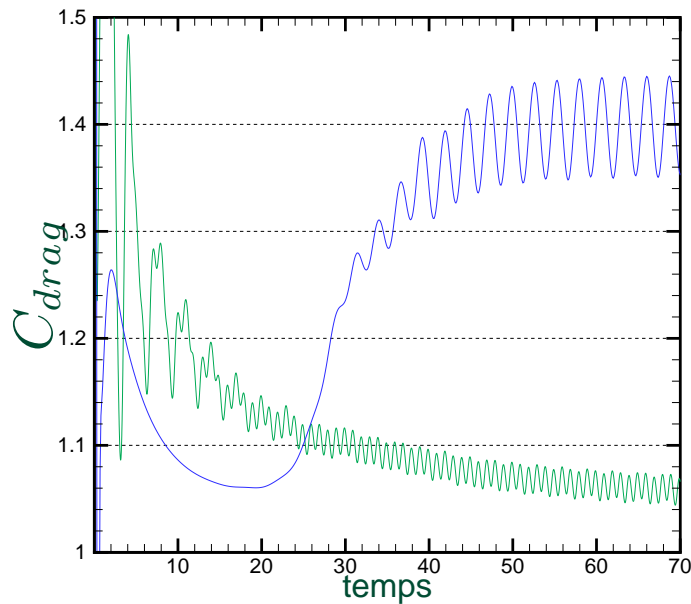
$$\mathcal{J}(\gamma_e) = 9,81 \quad \Longrightarrow \quad \mathcal{J}(\gamma_{opt}) = 5,63.$$

- Le contrôle est optimal pour le système POD.
- Le contrôle est-il optimal pour Navier-Stokes ?



V - Contrôle actif en boucle fermée

- ▶ Aucune preuve d'optimalité pour Navier-Stokes.



- ▶ Diminution très importante de la traînée :

$$C_D = 1,38 \text{ pour } \gamma = 0 \text{ et } C_D = 1,06 \text{ pour } \gamma = \gamma_{opt}.$$

- ▶ Diminution de l'amplitude de la portance :

$$C_L = 0,68 \text{ pour } \gamma = 0 \text{ et } C_L = 0,13 \text{ pour } \gamma = \gamma_{opt}.$$



Conclusions et perspectives

► Conclusions

- Objectifs atteints : diminution de la traînée via la minimisation de l'instationnarité du sillage du modèle réduit.

► Perspectives

- Améliorer la représentativité du modèle POD.
 - ↪ "Optimiser" l'excitation temporelle γ_e ,
 - ↪ Mélanger des snapshots correspondants à plusieurs excitations temporelles.
- Recherche d'un contrôle périodique $\gamma(t) = A \sin(2\pi S_t t)$ avec réactualisation de la base POD (premiers résultats encourageants).
- Couplage avec des méthodes d'optimisation à régions de confiance (TRPOD) \implies prouver convergence.
- Coupler la pression au modèle POD.
- Contrôle optimal de Navier-Stokes.

